

II-18 海氷の強度試験方法に関する研究

北大工 正員 佐伯 浩
 " 小野 敏行
 東京都府 正員 野村 俊夫
 北大工 正員 尾崎 晃

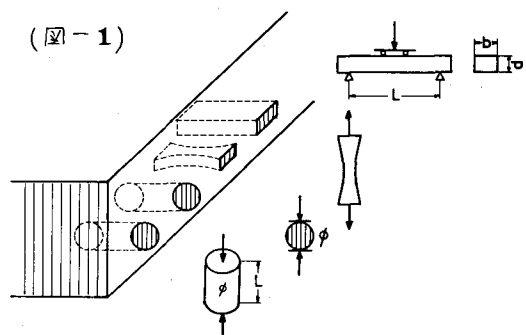
§ 1. 緒論 海氷に限らず、淡水氷に対するものも未だ、強度試験方法は確立していないのが現状である。これは、海氷に関する工程的な研究が少なかつた事と、海氷の影響を強く受けた海域で、海洋、海岸構造物を建設する必要がなかつた事によるものと思われる。しかし最近になって、北極海等寒冷地の海洋、海岸での人間の活動が活発になってくるにつれて、海氷に関する工程的な研究も次第に発展してきた。このような状況の中で、1970年にアイスラントのレイキャビクでIAHR の第1回の氷に関する国際シンポジウムが開かれた後、次いで、1971年にはPOAC (Port and Ocean Engineering in Arctic Condition) の第1回の国際会議がハーレーで開かれ、氷に関する国際的な学会活動が活発になってきた。研究の国際化が進むなかで、氷の強度試験方法の基準化の必要が生じてきたわけであるが、それに付して、1975年に開かれたIAHR の氷問題委員会に関するシンポジウム (Hanover U.S.A.) において、氷の試験方法の基準化に関するレポートがIAHR の執務委員会によって發表された。これは主に、

-軸圧縮試験方法と引張試験方法について

述べたものであるが、細部まで決めたものではなく、あくまでも、強度試験方法に関する指針といった程度のものである。

我々は過去千年間、海氷の强度試験方法の確立をめざして実験を行なってきたが、本研究では、引張強度試験方法および曲げ強度試験方法について述べるとともに、それらによつて決められた試験方法によつて强度につけても

(図-2)

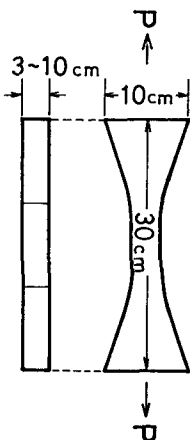
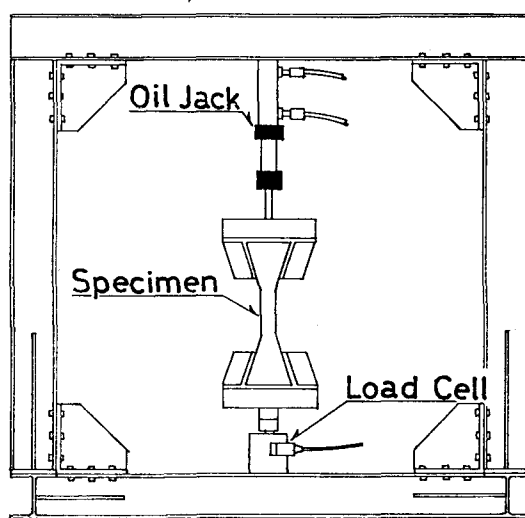


(図-3)

調べた。また、軸圧縮強度試験方法及びその強度については、以前に發表した研究を更に充てんする。

§ 2. 試験装置 実験は全て

実際の海水を用いて行なわれた。実験は佐呂間湖の富士山漁港で行ない、佐呂間湖の海水と常呂海岸で採取した流氷を用いた。採水された海水は時間とともに、その性質が変化するため、強度試験は採氷地点の近くで行なうのが望ましい。なお、本研究で用いた各強度試験の供



試体の採水状態を(図-1)に示す。

(1) 引張強度試験 海氷の引張強度試験方法

につき2つ、直接引張試験と圧裂試験の2種類について述べた。直接引張強度試験は(図-2)に示すように鋼製フレームにオイルジャッキを取り付け、それより供試体を直接引張るよう設計工である。引張力はLoad Cellにより測定される。供試体の形状は(図-3)に示すような形で、厚さは最大10cmまである。供試体には曲げモーメントが作用しないよう供試体固定金具は全てUniversal Jointによって接続されており、荷重速度は油圧ポンプの油量によって変えることができる。直接引張強度試験の供試体はdumbbell形が良いか、海水の強度が弱いため、供試体の固定が困難な事と供試体作製のため大型機械が必要な事と、供試体作製に時間と要するため、(図-3)のような形にした。

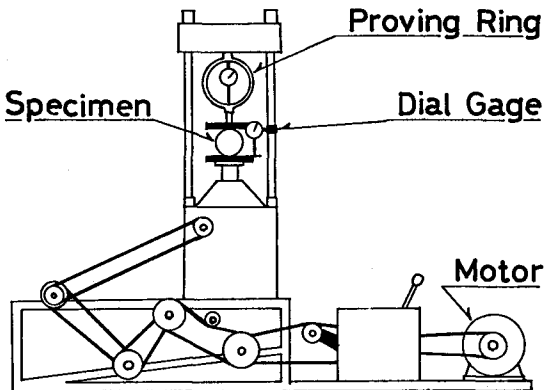
圧裂試験はBrazilian Testとも呼ばれてるもので、(図-4)のような試験装置を用いた。供試体は(図-1)に示すように円筒形である。荷重速度(stress rate)は、アーリーを取りかる事と無段变速モードによった。

(2) 曲げ強度試験 曲げ強度は(図-5)に示すように、直接引張試験用に鋼製フレームを用い、strain gage付きのProving Ringにより強度を測定した。

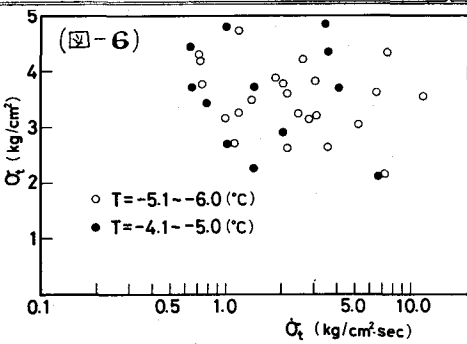
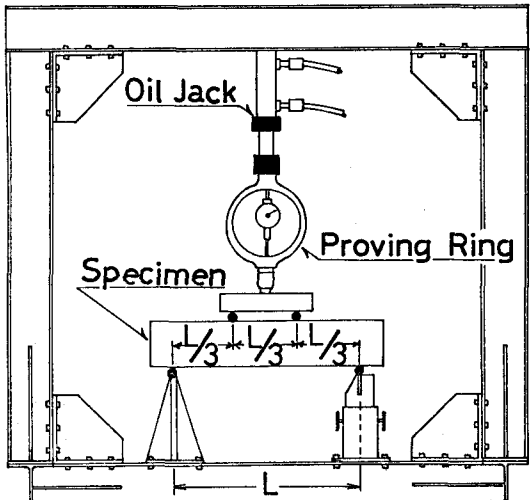
供試体は矩形断面の折り行ない、折れspanは30~50cm変化できる。また荷重のかけ方は、3等分点載荷法における。また折行高は20cm、折行幅は15cmまで試験可能である。

§ 3. 引張強度試験 土本材料、例えはコンクリートの引張強度を求める試験方法には、直接供試体を引張る事によって引張強度を求める方法とRing TestあるいはBrazilian Testと呼ばれる圧裂試験のように、円筒供試体を(図-4)のように側方から圧縮する事によって求められる方法があるが、我々の試験においても、この両方法を用いた。しかし圧裂試験により正石在引張強度を出す条件としては、荷重が継荷重となるねばならない。しかし実験を行ふと、載荷板に接する部分は、海水の強度によるとするが、数mm程度変形して面荷重となり、理論的には、正確な引張強度を示さない事になる。しかし、この試験方法の特徴は供試体の作製が非常に簡単で迅速である事と、試験が簡単である事である。

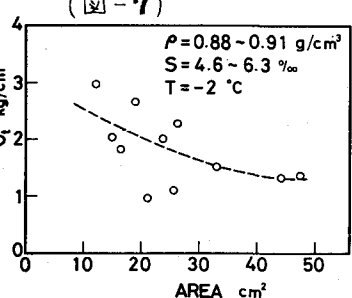
(1) 直接引張試験法 (07) 海氷は粒弹性体の性質を有して



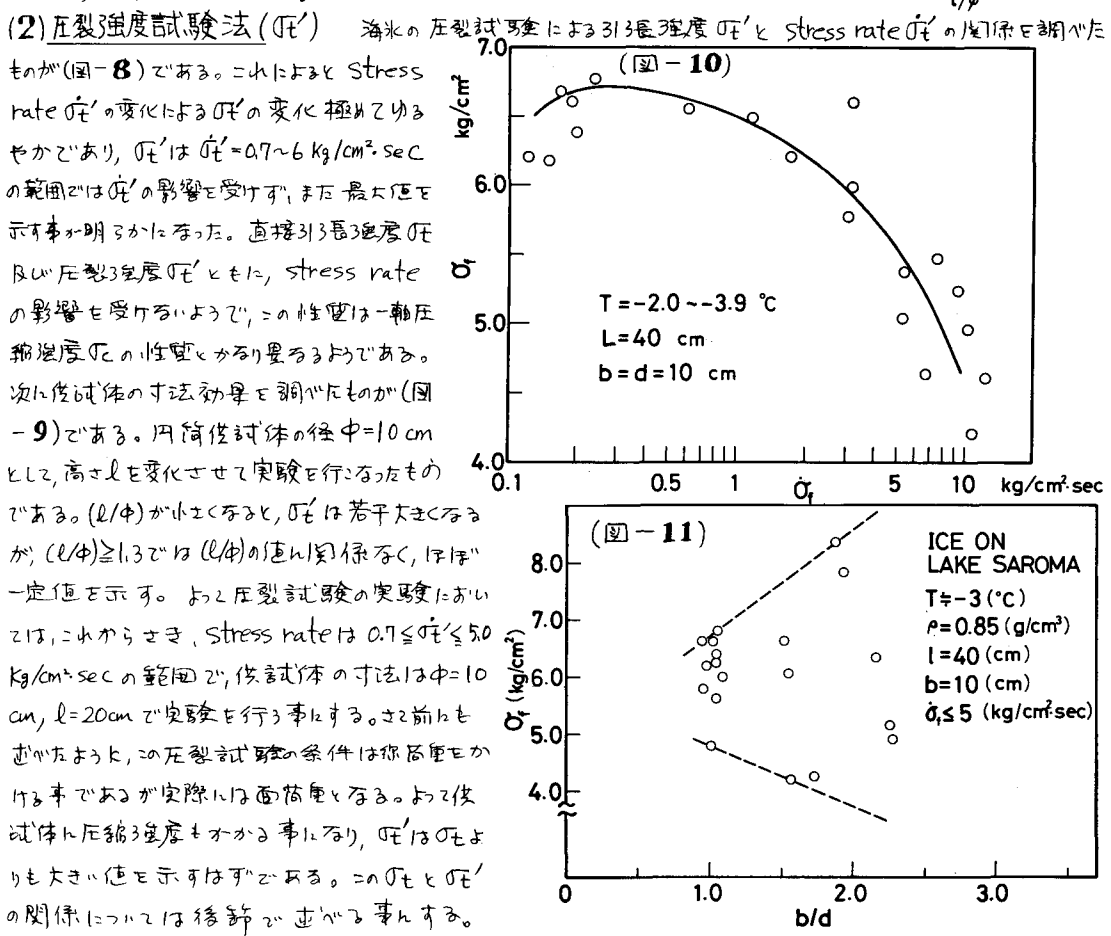
(図-5)



(図-6)



いたり、3種類試験室においては、stress rate ($\dot{\sigma}_t$) や strain rate の影響を受ける。また stress rate $\dot{\sigma}_t$ と直接引張強度 σ_t の関係を調べたものが(図-6)である。 $\dot{\sigma}_t$ が $1 \sim 10 \text{ kg/cm}^2 \cdot \text{sec}$ の範囲では、 σ_t の影響はあまり明確でないと考えられる。圧縮強度においては我々や Payton の実験から荷重速度が $\dot{\sigma}_t = 2 \text{ kg/cm}^2 \cdot \text{sec}$ 近辺で強度が最大となるが、直接引張の場合には、 $\dot{\sigma}_t$ が $1 \sim 5 \text{ kg/cm}^2 \cdot \text{sec}$ 一定値を示す。実験値のバラツキは大きいが、圧縮強度の場合と同じく、平均値のみで $\pm 30\%$ 程度である。この直接引張試験においては、供試体の形状と供試体の setting には充分注意を要したが、これは供試体に偏心荷重がかかり曲げて折れる事が多かったのである。次に断面積の効果を調べたもののが(図-7)である。実験値はバラツキはあるものの、断面積が大きくなるにつれて引張強度 σ_t が小さくなる傾向がみられるが、 40 cm^2 以上になると、どの面積も効果が小さくなる事を示している。この供試体の断面積の増大によつて強度が低下する現象は、海水やコンクリートの圧縮強度の場合にもみられる。



§ 4. 曲げ強度試験 (σ_f) 海水の曲げ強度については Tabata 等による室内実験および、現地北野での Cantilever Test が行なわれてある。この曲げ強度試験方法については、Stress rate の効果と平行の寸法効果について調べた。試験は 3 等分点載荷法によって行なった。Stress rate $\dot{\sigma}_f$ と曲げ強度 σ_f との関係を調べたものが (図-10) である。これはよろと、 $\dot{\sigma}_f$ が $3 \text{ kg/cm}^2 \text{ sec}$ より大きくなると魚材 σ_f は小さくなり、 $0.2 < \dot{\sigma}_f < 2.0 \text{ kg/cm}^2 \text{ sec}$ の範囲で peak を持っているようである。

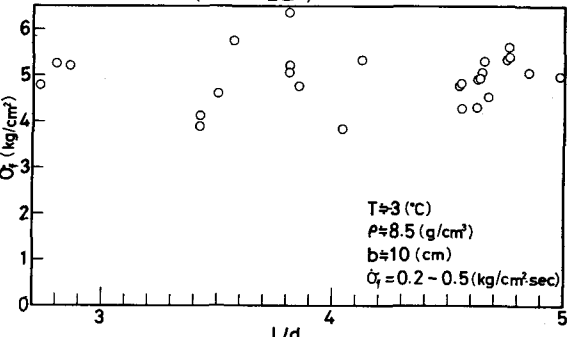
これは Tabata の研究においても同じような結果を得てある。図中の b は矩形断面桁の桁幅を示す、 L, d は桁高を示す。 L は span 長を示す。(図-10) より、以下の実験結果では $0.2 < \dot{\sigma}_f < 2.0 \text{ kg/cm}^2 \text{ sec}$ の範囲で実験を行なった。次に平行寸法効果を調べた。Span 長 $L = 40 \text{ cm}$ 、桁幅 $b = 10 \text{ cm}$ にて、桁高 d の効果を調べたものが (図-11) である。桁高 d が小さくなるにつれて、実験値の分散が大きくなる事を示しているから、これは曲げ強度 σ_f が矩形断面平行の場合 d^2 で効いてくるので、 d が小さくなると、氷中の air bubble や brine の量や分布が大きく影響 L くさるものと思われる。次に span 長 L と桁高 d の比 (L/d) と σ_f の関係を調べたものが (図-12) である。この実験では、桁幅 $b = 10 \text{ cm}$ 一定で、 $L = 30, 40, 50 \text{ cm}$ と変化させ、桁高 $d = 5 \sim 12 \text{ cm}$ の範囲で変化させて実験を行なった。

これはよろと、 $(L/d) = 2.7 \sim 5.0$ の範囲では、 σ_f は (L/d) の値に依存なく一定値を示す。以上の寸法効果の実験より、曲げ強度 σ_f の試験では、桁幅 $b = 10 \text{ cm}$ 、桁高 $d = 10 \text{ cm}$ 、span 長 $L = 40 \text{ cm}$ が適当と判断した。この曲げ強度試験では、3 等分点載荷法を用いたが、これが氷水中には air bubble や brine を含んでおり、その分布は必ずらずしても様子が異なるために操作が左右される、3 等分点において確実した時のデータのみを採用した、ほとんどの試験では、この点が問題となった。

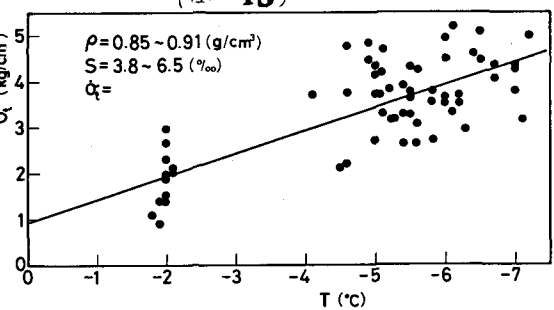
§ 5. 各強度と氷温の関係 - 動圧縮強度 σ_t に最も大きな影響を与える因子は氷温 T ($^{\circ}\text{C}$) と氷の密度 ρ (kg/cm^3) であるが、今回の σ_f 、 $\sigma_{f'}$ とともに σ_t の実験における σ_t の実験における T の範囲が $0.85 \sim 0.91 \text{ gr/cm}^3$ と狭いため、その効果は明確ではなかったので、 σ_f 、 $\sigma_{f'}$ と σ_t と氷温 T の関係を調べた。

(図-13) には σ_f と T の実験、(図-14) には $\sigma_{f'}$ と T の実験、(図-15) には σ_t と T の実験

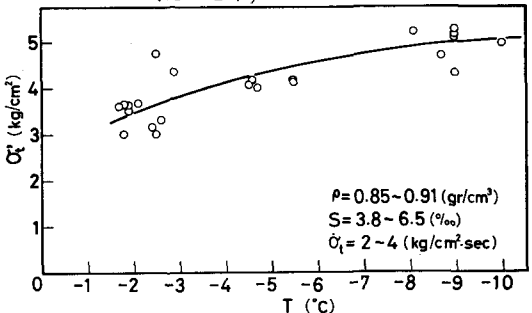
(図-12)



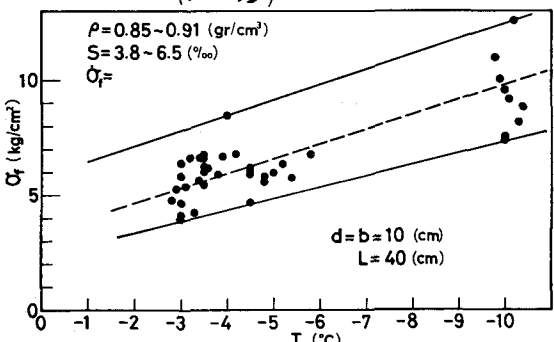
(図-13)



(図-14)



(図-15)

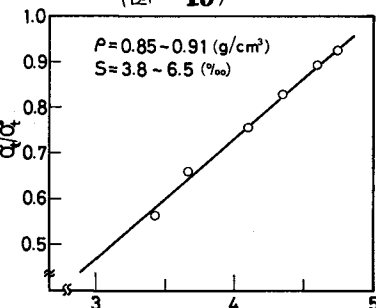
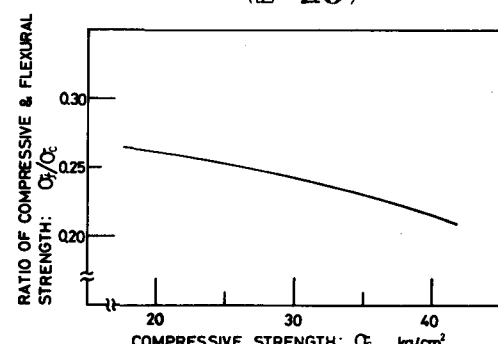
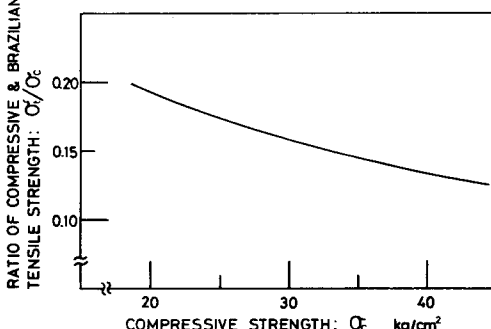


値を示す。これが水温下に多くのバラツキがあるが、 $\bar{\sigma}_t$ と $\bar{\sigma}_f$ は両方とも水温下の低下とともに直線的に増大する事が明らかとなった。これは $\bar{\sigma}_t$ と $\bar{\sigma}_f$ は水温下の低下とともにゆるやかに曲率が増大する。(図-13) と (図-14) より、 $\bar{\sigma}_t$ と $\bar{\sigma}_f$ との T における平均曲率と比較してみると、同一の水温では $\bar{\sigma}_f$ の方が $\bar{\sigma}_t$ より大きな値を示す。これは前にも述べたように、圧裂試験で面荷重となり、圧縮モードそのため、たきめの 313 倍強度を示す事になる。 $\bar{\sigma}_t = \bar{\sigma}_f$ の両平均値の曲線上に $(\bar{\sigma}_t/\bar{\sigma}_f)$ と $\bar{\sigma}_f'$ の関係を示したもののが(図-16)である。これはよると、 $(\bar{\sigma}_t/\bar{\sigma}_f')$ は $\bar{\sigma}_f'$ の値が大きくなる程、つまり水温が低下するほど 1.0 に接近する。これは水の3倍強度が大きくなると、圧裂試験において、鉛直荷重に近い荷重条件になるとと思われる。(図-16) は、試験の簡単な圧裂試験による強度 $\bar{\sigma}_f'$ が判明すれば、鉛直の引張強度 $\bar{\sigma}_t$ を知る事ができる。次に(図-17)は $\bar{\sigma}_t$ と $\bar{\sigma}_f$ の関係を示す。これによると、 $\bar{\sigma}_t$ は $\bar{\sigma}_f$ よりかなり小さな値を示しているが、これは Concrete 等でも同じ性質を持つといふが、これは荷重分布における 313 倍強度で直線分布した事による。また、これは $\bar{\sigma}_t$ が増大する程、増大する傾向がある。この性質も Concrete の場合と同じ性質である。また、 $\bar{\sigma}_t$ は水温下とともに直線的に増大するが、これは Voitkovskii による淡水水の場合と同じ傾向を持つ事である。次に一軸圧縮強度 $\bar{\sigma}_c$ と $\bar{\sigma}_t$, $\bar{\sigma}_f$, $\bar{\sigma}_f'$ の間の関係を書きへたものが(図-18)

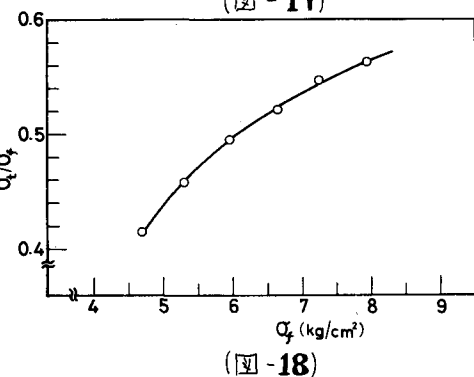
(図-19) と (図-20) と (図-21) である。まず(図-18)の $(\bar{\sigma}_t/\bar{\sigma}_c)$ と $\bar{\sigma}_c$ の関係で見て、 $\bar{\sigma}_c$ の変化における $(\bar{\sigma}_t/\bar{\sigma}_c)$ ≈ 0.12 一定値を示している。これは Concrete の場合、 $(\bar{\sigma}_t/\bar{\sigma}_c)$ ≈ 0.10 である。次に(図-19)の $(\bar{\sigma}_f/\bar{\sigma}_c)$ と $\bar{\sigma}_c$ の関係は、 $\bar{\sigma}_c$ の増大と共に $(\bar{\sigma}_f/\bar{\sigma}_c)$ は低下する。また $(\bar{\sigma}_f/\bar{\sigma}_c)$ の最大値は、ほぼ 0.20 であるが、Concrete の場合とよく一致している。また、(図-20)の $(\bar{\sigma}_f/\bar{\sigma}_c)$

(図-19)

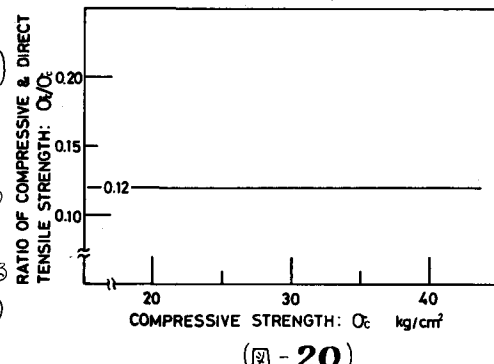
$\bar{\sigma}_c$ の関係は $\bar{\sigma}_c$ が増大するにつれて $(\bar{\sigma}_f/\bar{\sigma}_c)$ は直線的に低下する。



(図-16)



(図-17)



(図-18)

Concrete の場合, Graf の実験結果によると, (σ_f/σ_c) の最大値が 0.25 となり, σ_c の増加とともに, (σ_f/σ_c) は直線的に低下していく事から, 海氷の場合と Concrete の場合よく一致していふ事が分かる。以上述べたように海氷の強度の柔軟対値は Concrete に較べて非常に小さいが, 海氷の各強度間の関係は Concrete の場合のそれと非常に似かよった性質を有している事が明らかである。したがって Concrete がセメントと粗骨材と細骨材によってなつてゐる事と, Concrete 自身も visco-elastic の性質を有しているからである。Concrete の場合は、一般に一軸圧縮強度 σ_c , Concrete の強度を示す一箇簡単な示標となるべきが、本研究において一軸圧縮強度 σ_c 及び σ_t , σ_t' と σ_f の間の関係を得られた事で、 σ_c を「初期強度」とすれば、他の強度は推定できる事になる。

おわりに

本研究をするに当り、本電極の製作協力者である佐呂間漁業協同組合および佐呂間湖養殖漁業協同組合の各位（= 諸君意を表すとともに）実験を手伝つて戴いた、齊藤浩可氏および西谷一典氏に深甚なる感謝意を表する。また本研究の費用は、文部省科学研究、一般研究 C 「寒冷地における海洋構造物構造的設計法の研究」による助成を受けた。

参考文献

- 1) IAHR Committee on Ice Problems ; Report of Task-Committee on Standardizing Testing Method for Ice, IAHR Symposium on Ice Problems, Hanover, U.S.A., 1975
- 2) Weeks W. F. & A. Assur ; Fracture of Lake and Sea Ice, CRREL Research Report 269, Sep. 1969.
- 3) 近藤泰夫, 坂静太郎 ; コンクリートハンドブック, 車倉出版, 1957
- 4) Gonnerman, H. F. and E. C. Shuman ; Compression, Fluxure and Tension Tests of Plain Concrete, Proc. of ASTM Vol. 28, Part II, 1928
- 5) Saeki, H. et al ; Experimental Study on the Compressive Strength of Sea Ice and The Ice Forces on an Isolated Circular Pile, Coastal Engineering in Japan, Vol. 19, 1976
- 6) 佐伯浩, 齊藤修一 ; 海氷の一軸圧縮強度試験の強度について, 土木学会北海道支部論文集 1975
- 7) Saeki, H., T. Nomura and A. Ozaki ; Experimental Study on the Testing Methods of Strength and Mechanical Properties for Sea Ice, IAHR Symposium on Ice problems, Luleå, Sweden, 1978